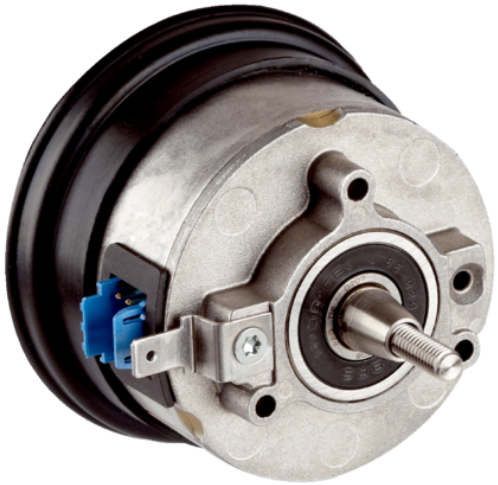
AIR-COM PNEUMATYKA-AUTOMATYKA

Najszersza oferta pneumatyki w Polsce

24h Szybka dostawa 24 h / 48 h

Biuro Obsługi Klienta +48 71 799 45 81

System sprzężenia zwrotnego silnika (1037087) serii SRS/SRM50 - SICK



Numer artykułu SKU: OC-SICK002643

Numer artykułu producenta: -----

Tylko na zamówienie

SICK

OPIS PRODUKTU

Charakterystyka bezpieczeństwa technicznego

MTTF $_D$ (średni czas do niebezpiecznej awarii) 235 lat(a) (EN ISO 13849) [1)]

[1)] W przypadku tego produktu chodzi o produkt standardowy, a nie o część zabezpieczającą w rozumieniu dyrektywy maszynowej. Obliczenie na podstawie nominalnego obciążenia części, średniej temperatury otoczenia 60 °C, częstości stosowania 8760 h/rok. Wszystkie awarie elektroniczne są uważane za awarie niebezpieczne. Szczegółowe informacje — patrz dokument nr 8015532.

Wydajność

Liczba okresów Sinus/Cosinus na obrót	1.024
Liczba bezwzględnie rejestrowanych obrotów	4.096
Łączna liczba kroków	134.217.728
Krok pomiarowy	0,3 ″ przy interpolacji sygnałów Sinus/Cosinus, np. 12 bit
Nieliniowość różnicowa	Typ. ± 45 ″, Granice błędów analizy sygnałów Sinus/Cosinus, przy poluzowanym wsporniku antyrotacyjnym
Nieliniowość różnicowa	± 7 ″
Robocza prędkość obrotowa	≤ 6.000 min^{-1}, przy której możliwe jest niezawodne odwzorowanie pozycji bezwzględnej
Dostępny zakres pamięci	128 Byte

Dokładność systemu	± 52 ″

Interfejsy

Kodowanie wartości bezwzględnej	Binarny
Przebieg kodu	Rosnąco, przy obrocie wałka. Zgodnie z kierunkiem ruchu wskazówek zegara, patrząc w kierunku „A” (patrz rysunek wymiarowy), Przy obrocie wałka w prawo, patrząc w kierunku „A” (patrz rysunek wymiarowy)
Interfejs komunikacyjny	HIPERFACE ®

Dane elektryczne

Typ przyłącza	Wtyk, 8 pinów, promieniowe
Napięcie zasilające	7 V DC ... 12 V DC
Zalecane napięcie zasilające	8 V DC
Pobór prądu	80 mA [1)]
Częstotliwość wyjściowa dla sygnałów Sinus/Cosinus	≤ 200 kHz

[1)] Bez obciążenia.

Dane mechaniczne

Wykonanie wałka	Wałek stożkowy
Rodzaj kołnierza/wspornik antyrotacyjny	Gumowa podstawa montażowa, Gumowa podstawa montażowa
Wymiary	Patrz rysunek wymiarowy
Masa	≤ 0,2 kg
Moment bezwładności wirnika	10 gcm²
Prędkość obrotowa pracy	≤ 12.000 min^{-1}
Przyspieszenie kątowe	≤ 200.000 rad/s²
Moment obrotowy roboczy	0,2 Ncm
Moment rozruchowy	+ 0,4 Ncm
Dopuszczalny statyczny przesuw wałka	± 0,3 mm promieniowe ± 0,75 mm osiowe
Dopuszczalny dynamiczny przesuw wałka	± 0,1 mm promieniowe ± 0,2 mm osiowe
Ruch kątowy prostopadle do osi obrotu, statycznie	± 0,005 mm/mm
Ruch kątowy prostopadle do osi obrotu, dynamicznie	± 0,0025 mm/mm
Trwałość użytkowa łożysk kulkowych	3,6 x 10^{9} obrotów

Dane dotyczące otoczenia

Zakres temperatury roboczej	–30 °C ... +115 °C
Zakres temperatur przechowywania	–40 °C ... +125 °C, bez opakowania
Względna wilgotność powietrza/kondensacja wilgoci	90 %, Roszenie niedopuszczalne
Odporność na wstrząsy	100 g, 10 ms, 10 ms (wg EN 60068-2-27)
Zakres częstotliwości odporności na drgania	20 g, 10 Hz ... 2.000 Hz (EN 60068-2-6)
EMC	Wg EN 61000-6-2 i EN 61000-6-3 [1)]
Stopień ochrony	IP40, przy podłączonym kontrawtyku (IEC 60529)

[1)] Kompatybilność elektromagnetyczna jest gwarantowana zgodnie z podanymi normami, jeśli system sprzężenia zwrotnego silnika jest zamontowany w obudowie przewodzącej prąd elektryczny, która jest połączona poprzez ekran przewodu z centralnym punktem uziemienia regulatora silnika. Również przyłącze GND (0 V) obwodu napięcia zasilającego jest tam połączone z uziemieniem. Przy zastosowaniu innych sposobów ekranowania użytkownik musi przeprowadzić własne testy.

Certyfikaty

EU declaration of conformity	
UK declaration of conformity	
ACMA declaration of conformity	
China-RoHS	
Certyfikat EAC / DoC	

Klasyfikacje

ECLASS 5.0	27270590
ECLASS 5.1.4	27270590
ECLASS 6.0	27270590
ECLASS 6.2	27270590
ECLASS 7.0	27270590
ECLASS 8.0	27270590
ECLASS 8.1	27270590
ECLASS 9.0	27270590
ECLASS 10.0	27273805
ECLASS 11.0	27273901
ECLASS 12.0	27273901
ETIM 5.0	EC001486
ETIM 6.0	EC001486
ETIM 7.0	EC001486
ETIM 8.0	EC001486
UNSPSC 16.0901	41112113

DANE TECHNICZNE

Nr kat.	OC-SICK002643

Data wygenerowania podsumowania: 13.11.2026r, g. 12:54